

## H-beta Zeolite를 이용한 5-ortho-tolylpentene에서 1,5-Dimethyltetralin의 제조

이현호 · 길민호 · 최일석\* · 추대현\*\* · 이재성\*\* · 김재창†

경북대학교 화학공학과

\*S-Oil(주)

\*\*포항공과대학교 화학공학과

(2001년 11월 22일 접수, 2002년 2월 28일 채택)

## Preparation of 1,5-Dimethyltetralin from 5-ortho-tolylpentene Using H-beta Zeolite

Hyun Ho Lee, Min Ho Kil, Il Seok Choi\*, Dae Hyun Chu\*\*, Jae Sung Lee\*\* and Jae Chang Kim†

Department of Chemical Engineering, Kyungpook National University, Daegu 702-701, Korea

\*S-Oil Corporation, R & D Center, 360 Sanam-ri, Onsan-eup, Ulju-kun, Ulsan 689-890, Korea

\*\*Department of Chemical Engineering, Pohang University of Science and Technology(POSTECH), Pohang 790-784, Korea

(Received 22 November 2001; accepted 28 February 2002)

### 요 약

PEN(polyethylene naphthalate) 수지의 전구물질인 2,6-DMN(2,6-dimethylnaphthalene) 제조를 위한 1,5-DMT(1,5-dimethyltetralin) 합성반응, 즉 5-OTP(5-ortho-tolyl-pentene)의 고리화 반응을 H-beta zeolite 촉매를 사용하여 수행하였다. 기존 특허상의 H-USY에 비교해서 향상된 전화율과 선택도를 얻을 수 있었다. 특히 공정에서 불순물로 작용하는 부반응 생성물인 기타 DMT 이성체, DMN 이성체 및 여러 고분자 물질들의 생성이 억제되었고, 140 °C 이하의 온도에서 100%의 1,5-DMT 선택도를 얻을 수 있었다. 140 °C보다 높은 고온에서 장시간 반응시에는 1,5-DMT의 이성화 반응이 진행되었으나 1,5-DMT와 동일한 triad에 속하는 1,6-DMT와 2,6-DMT와 같은 유용한 물질 쪽으로 반응이 진행되었다. H-beta zeolite 촉매의 넓은 외부 표면적과 적정한 산점 세기가 우수한 반응성과 선택도를 보이는 원인으로 판단된다.

**Abstract** – To make 2,6-DMN(2,6-dimethylnaphthalene) used as a precursor of PEN(polyethylene naphthalate), the catalytic cyclization reaction of 5-OTP(5-ortho-tolyl-pentene) to 1,5-DMT(1,5-dimethyltetralin) was carried out by using H-beta zeolite. Compared with H-USY mentioned in the several patents, higher activity and selectivity to 1,5-DMT were obtained using H-beta: the side reaction products such as DMTs, DMNs and other polymers, known as impurities in many processes were suppressed. H-beta shows 100% selectivity to 1,5-DMT at lower temperatures below 140 °C. At temperatures above 140 °C, isomerization of 1,5-DMT occurred on H-beta, but the products were 1,6-DMT and 2,6-DMT which were belonging to the same triad of 1,5-DMT and could be used as reactants to make a final product. The high activity and selectivity of H-beta was considered to be originated from the microcrystallite structure of H-beta with large and irregular external surface area, mesopore, and proper acidic strength.

Key words: H-beta Zeolite, Cyclization, 5-ortho-tolylpentene, Dimethyltetralin, Dimethylnaphthalene

### 1. 서 론

PEN(polyethylene Naphthalene) 수지는 기존의 PET(polyethylene terephthalate) 수지에 비하여 기계적, 열적, 화학적 안정성 등의 물성이 우수하여 산업용으로 향후 수요가 급신장 할 것으로 예상되는 새로운 폴리에스터 물질이다. PEN 수지는 기존의 PET 수지의 벤젠 고리 대신 나프탈렌 고리를 기본 골격으로 하고, 그 원료로서 2,6-NDA(2,6-naphthalenedicarboxylic acid) 혹은 2,6-NDC(dimethyl-2,6-naphthalenedicarboxylate)가 사용된다. 한편 2,6-NDA나 2,6-NDC는 2,6-DMN(2,6-dimethylnaphthalene)의 산화에 의해 제조하는 것이 가장 유리한 공정으로 알려져 있다[1, 2].

현재 가장 우수하다고 알려진 Amoco 공정[3-5]은 Fig. 1에서 나타낸 바와 같이 석유화학 원료인 o-xylene과 1,3-butadiene을 시작물질로 하여 alkenylation, cyclization, dehydrogenation, isomerization의 4단계를 거쳐 2,6-DMN(2,6-dimethylnaphthalene)을 제조한 후 산화시켜 NDC를 제조하는 공정이다. 이 공정의 cyclization 반응은 alkenylation 반응을 통해 생성된 알케닐벤젠류(OTP, 5-ortho-tolylpentene)를 시작 물질로 하여 H-USY zeolite 상에서 cyclization 반응을 통해 1,5-DMT(dimethyltetralin)를 제조하게 된다. 이 때, 부반응으로 인하여 1,5-DMT 외에도 기타 DMT 이성체, DMN 이성체 및 여러 종류의 고분자 물질들도 함께 생성되며, 특히 고분자 물질은 크래킹 반응을 거쳐야만 다시 고리화

†To whom correspondence should be addressed.

E-mail: kjchang@bh.knu.ac.kr

반응의 원료로 사용할 수 있다. 한편, DMN 이성체는 동일 triad 내에서만(즉, 1,5-,1,6-,2,6-내에서, 1,3-,1,4-,2,3-내에서, 1,7-,1,8-,2,7-내에서만) 이성화가 일어나며[6], 다른 triad 간에는 이성화가 매우 어려운 것으로 알려져 있기 때문에 목적하는 2,6-DMN의 수율을 높이고 다른 이성체가 불순물로 남지 않도록 하기 위하여 DMN의 triad가 결정되는 cyclization 반응의 선택도를 최대한 높이는 것이 매우 바람직하다.

Beta zeolite는 1967년에 합성된 이후, 1988년에 가서야 구조가 밝혀졌고[7] 최근 여러 유기화학 부문에서 주요 촉매로 개발 및 적용되고 있다. 실제 성공적으로 적용된 예로는 방향족의 alkylation[8], 방향족의 acylation[9], indole synthesis[10], 방향족의 nitration[11], 그리고 aliphatic alkylation[12] 등이 있다. Beta zeolite의 세공 크기는 0.55-0.7 nm 정도이고 아주 넓은 범위의 Si/Al ratio에서 합성이 이루어지며 이 때 보통 매우 작은(<1 μm) 결정들이 생성된다[13]. 이와 같은 구조적인 불규칙성은 결정의 morphology에 영향을 주어 아주 거친 표면구조를 갖게 한다. 불규칙한 외부 표면적, 매우 작은 결정들, 그리고 매우 많은 폐조포인들의 분포로 인해 외부표면적이 전체 표면적의 약 35%까지 차지하게 된다[14, 15].

본 논문에서는 Amoco사의 2,6-DMN 제조공정(Fig. 1)의 두 번째 반응인 cyclization 반응에서 기존의 H-USY zeolite를 대체한 H-beta zeolite를 사용하여 실험을 수행하였으며, 1,5-DMT를 최대 수율로 얻기 위한 최적 반응 조건의 도출과 기존 촉매와의 비교 연구를 수행하였다.

## 2. 실험

### 2-1. 촉매 제조 및 특성 분석

본 실험에 사용한 촉매는 상업적으로 판매되는 제품을 사용하였으며, 일본 Tosoh사의 beta zeolite(HSZ-930NHA)와 미국 UOP 사의 USY(LZ-

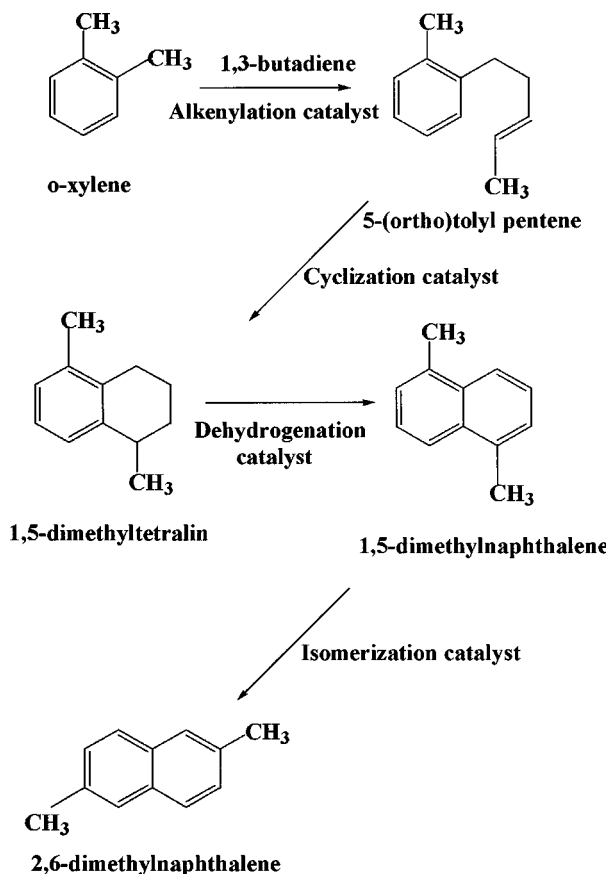


Fig. 1. Synthesis of 2,6-DMN from o-xylene and 1,3-butadiene.

Y74), 그리고 Aldrich사의 Y zeolite를 사용하였다. 구입 당시 beta zeolite는 ammonium form이었고, USY와 Y는 Na<sup>+</sup> 형이었으며 이들은 다음과 같이 H<sup>+</sup> 형으로 바꾼 후 반응에 사용하였다. 즉 분말상의 zeolite와 1 N 농도의 ammonium chloride(Aldrich chemical사) 수용액을 1 g/ 50 ml의 비율로 상온에서 24 h 동안 교반시키면서 이온교환을 한다. 이 과정에서 zeolite 내의 이온교환이 가능한 위치에 암모늄기(NH<sub>4</sub><sup>+</sup>)가 자리잡게 된다. 이온교환이 끝나면 필터로 촉매와 수용액을 분리하였다. 촉매와 중류수의 비를 1 g/300 ml로 하여 중류수로 충분히 세척 한 후, 건조 오븐에서 110 °C, 12 h 동안 건조시키고 공기중에서 500 °C로 4 h 소성하였다. 소성 과정에서 암모늄기의 암모니아(NH<sub>3</sub>)가 제거되어 H<sup>+</sup>형으로 변환된다.

Beta zeolite 촉매의 표면 입자들의 분포와 모양을 알아보기 위해 Hitachi(Japan)사의 S-4200 FE-SEM을 이용하여 만배의 배율에서 SEM 사진을 얻을 수 있었으며, Micrometrics사의 ASAP 2010C 흡착 장치를 이용하여 액체 질소 온도(77 K)에서 질소 흡착 및 탈착 등온선을 얻고 BET 표면적과 외부 표면적이 계산되었다.

### 2-2. 실험장치 및 실험방법

OTP의 cyclization과 OTP 합성반응은 모두 액상에서 batch 반응으로 수행하였다.

상업적으로 OTP를 판매하지 않기 때문에 본 실험에서는 직접 OTP를 합성하여 이를 반응물로 사용하였다. 이전의 논문[16]에서 자세하고 정확한 OTP 합성반응이 보고 되었지만 본 실험에서는 고압반응기(Parr instrument사, parr 4561)에서 과량의 촉매를 사용하여 OTP를 대량으로 합성하였다. 반응기에 o-xylene 100 g과 Na 0.5 g, K 0.5 g을 넣고 질소를 충분히 흘려 반응기내의 공기를 제거한 후, 반응온도에서의 액상을 보장하기 위해 질소로 30 psia의 압력을 주입한다. 185 °C까지 승온하여 1 h동안 전처리를 한 후, 135 °C에서 1,3-butadiene과 3 h 동안 반응시킨다. 반응 종료 후 촉매를 분리하고 감압 중류하여 OTP를 얻었다.

본 반응인 OTP의 cyclization 반응은 150 ml의 3구 플라스크 상압 반응 장치로 실험을 수행하였다. 반응절차를 살펴보면, 우선 본 반응 전에 zeolite는 250 °C에서 1 h동안 공기분위기 하에서 전처리과정을 통해 zeolite내의 수분을 제거한 후 반응기로 유입시킨다. 반응기에 반응물과 전처리를 거친 촉매를 주입한 후에 질소를 충분히 통과시켜 반응기의 공기를 제거한 후 반응온도까지 승온하여 반응을 수행하였다.

모든 생성물의 정량분석은 노먼시스템사의 gas chromatography(DS 6200)를 사용하였고 HP-1 capillary column(hewlett packard)을 사용하였으며 생성물인 1,5-DMT의 정확한 정성분석은 GC-MS와 H<sup>1</sup>-NMR을 이용하였다.

## 3. 결과 및 고찰

### 3-1. 1,5-DMT의 정량 및 정성 분석

OTP의 GC 분석 결과를 보면 5-ortho-tolyl-1-pentene과 5-ortho-tolyl-2-pentene의 2가지로 나타나는데 표준시약을 구할 수 없었고, 분리하기도 상당히 어려워 정확히 피크를 구분할 수 없었다. 그러나 이중결합의 위치와는 상관없이 cyclization의 반응물로 유용하기 때문에 더 이상의 확인작업은 하지 않았다. 이 반응에서 전화율은 반응기에 공급한 OTP에서 소비된 OTP의 양으로 계산하였다. 소비된 OTP의 양은 4-tert-butyltoluene(Aldrich chemical사)을 내부표준물질로 하여 GC의 면적비와 무게비의 보정곡선을 작성하여 정량분석하였다. 선택도는 전체 반응생성물인 DMT 이성체, DMN 이성체, 기타 부산물 중에서 1,5-DMT의 GC 면적비로 계산하였다. 반응생성물인 1,5-DMT의 정성분석은 GC-MS와 H<sup>1</sup>-NMR을 통해 이루어졌다.

Fig. 2는 1,5-DMT의 GC-MS 분석 결과이다. VG(U.K.)사의 (QUATTRO II) GC-MS spectroscopy를 사용하여 생성물로부터 정제한 1,5-DMT를

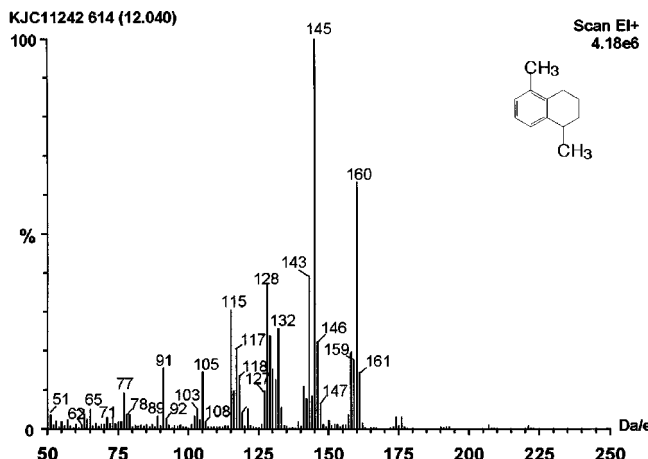


Fig. 2. GC-MS spectrum of 1,5-DMT.

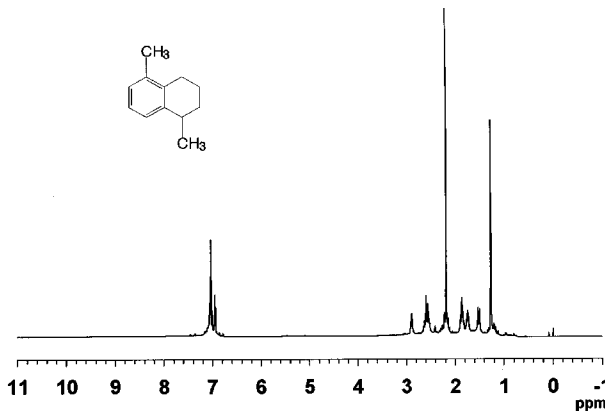


Fig. 3. FT-NMR spectrum of 1,5-DMT.

분석하였다. 1,5-DMT의 M+인 160과 alkyl기가 분리된 흔적인 145에서 주파크가 보이고, 또한 mass reference에서 1,5-DMT임을 확인하였다.

Fig. 3은 1,5-DMT의 H<sup>1</sup>-NMR 분석 결과이다. Varian(USA)사의 (varian unity plus 300, 300 MHz) FT-NMR spectroscopy를 사용하여 생성물로부터 정제한 1,5-DMT를 분석하였다. 7 ppm 근처에서 방향족의 전형적인 피크가 보이고, 2.21 ppm에서 방향족에 붙은 CH<sub>3</sub>의 수소와 1.23 ppm에서 aliphatic에 붙은 CH<sub>3</sub>의 수소 피크가 관찰되며 aliphatic에 직접 붙은 수소들은 1.30-2.92 ppm 사이에서 관찰된다.

### 3-2. Cyclization 반응

Cyclization 반응은 Amoco 공정의 2번째 단계에 해당하는 것으로 OTP를 반응물로 사용하여 1,5-DMT를 얻어내는 반응이다. 전화율은 반응한 OTP의 양으로, 선택도는 생성된 물질 중 1,5-DMT의 분율로 계산하였다. Amoco 공정에 따르면 acid Y-type zeolite 촉매를 이용하여 120-350 °C의 온도범위에서 2-6 h동안 반응이 이루어지며, 이때 사용되는 촉매량은 OTP 무게 기준으로 1-3 wt%이다. 이 반응에서 1,5-DMT 뿐만 아니라 여러 DMT 이성체들이 생성되는데 이들은 이후의 공정에서 불순물로 작용하여 PEN 수지의 품질을 저하시키므로 높은 수율과 선택성을 얻는 것이 중요하다[17-20].

#### 3-2-1. 촉매에 따른 반응성

기존의 Amoco사가 보유하고 있는 특허에서 사용한 USY(UOP, LZ-Y74) zeolite와 일반적인 Y zeolite, 그리고 beta zeolite(tosoh)를 사용하여 각 촉매의 반응성을 비교하였다. 반응조건은 상압에서 2 wt% catalyst(g)/total OTP(g)의 촉매량을 사용하였다. Fig. 4는 각 촉매상에서

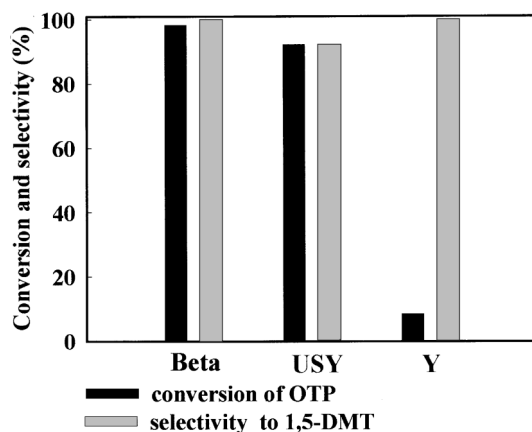


Fig. 4. Conversions and selectivities of various zeolites in OTP cyclization reaction at 140 °C after 4 hours.

의 반응성을 알아보기 위하여 140 °C에서 4 h 동안 OTP의 cyclization 반응을 수행한 결과이다. H-beta zeolite에서 98.2%의 가장 높은 전화율을 보이고 H-USY의 경우에는 92.2%의 비교적 높은 전화율을 보이지만 1,5-DMT의 선택도는 92.0%로써 1,5-DMT만이 생성되는 H-beta에 비해 떨어진다. H-USY에서는 1,5-DMT 외에도 같은 triad에 속한 1,6-DMT와 2,6-DMT가 주로 부반응 생성물로 나타나는데, 이는 반응초기에 생성된 1,5-DMT가 이성화 반응이 진행됨에 따라 생성되는 것으로서 H-beta의 고온 반응 결과에서도 유사하게 나타나게 된다. Y의 경우에는 전화율이 8.5%로서 상당히 반응성이 낮음을 볼 수 있고 이성화 반응은 진행되지 않아 1,5-DMT만이 생성된다. 이하의 실험 결과들은 높은 촉매활성을 보이는 두 촉매, 즉 Amoco 특허의 H-USY와 훨씬 우수한 수율을 얻는데 성공한 H-beta의 비교 실험 결과들을 나타내었다.

#### 3-2-2. H-beta와 H-USY의 촉매 활성 비교

Table 1과 Fig. 5는 140 °C에서의 H-beta와 H-USY의 반응 수행 결과를 보여주고 있다. OTP는 5-ortho-tolyl-pent-1-ene과 5-ortho-tolyl-pent-2-ene을 합친 무게 %이며, 기타 DMTs는 triad에 속한 1,6-DMT와 2,6-DMT를 제외한 DMT 이성질체, DMN 이성질체와 그 외에 생성되는 고분자 물질들의 합을 나타낸다.

H-beta의 경우에 반응시작 초기에 거의 반응이 다 진행되어 전화율의 경우에는 1 h에서 24 h까지 큰 차이가 없다. 즉, 140 °C에서는 1 h 이전에 이미 OTP의 cyclization 반응은 거의 다 진행되게 된다. 또한 cyclization 반응으로 생성되는 생성물로는 1,5-DMT 만이 생성되며 생성된 1,5-DMT는 24 h 후에도 이성화 반응이 진행되지 않아 선택도가 100%로 유지된다. H-USY는 H-beta에 비해 반응속도는 느리지만 장시간 반응 시에 그 전화율은 H-Beta와 거의 비슷한 결과를 보여주고 있다. 그러나 선택도에 있어서는 상당한 차이를 보여주게 된다. 반응시각 1.5 h에서 이미 1,6-

Table 1. Cyclization product distribution of H-beta &amp; H-USY at 140 °C

Catalyst	H-beta			H-USY		
	1 h	4 h	24 h	1.5 h	4 h	24 h
Product(wt%)						
OTP	2.8	2.5	1.8	38.8	7.8	2.7
1,5-DMT	97.3	97.5	98.2	58.9	84.8	69.0
1,6-DMT	0	0	0	1.6	4.0	14.6
2,6-DMT	0	0	0	0.7	2.1	7.8
Other DMTs, DMNs	0	0	0	0	1.2	5.8
Conversion(%)	97.3	97.5	98.2	61.2	92.2	97.3
Selectivity(%)	100	100	100	96.2	92.0	71.3
Yield(%)	97.3	97.5	98.2	58.9	84.8	69.4

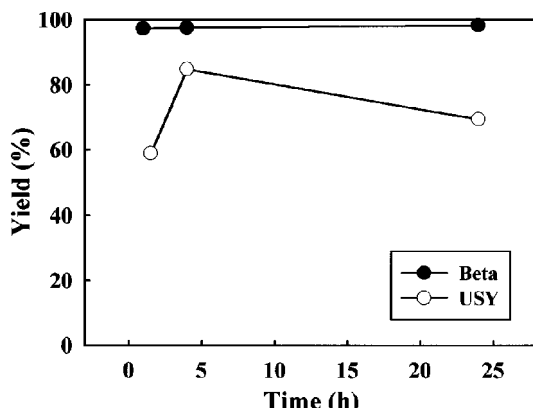


Fig. 5. Overall yield of 1,5-DMT using zeolite H-beta and H-USY in OTP cyclization reaction at 140 °C as a function of reaction time.

DMT와 2,6-DMT가 생성되고, 4h에서 전화율은 92.2%로 높아지지만 1,6-, 2,6-DMT로의 이성화 반응 뿐만 아니라 다른 DMTs 까지도 생성되고 있음을 볼 수 있다. 반응시각 24h에서는 이성화 반응의 진행이 계속되어 1,6-, 2,6-DMT가 약 22.4%에 이르며 DMTs 외에도 다른 고분자 물질도 생성된다. 이러한 이성화 반응으로 인한 부반응 생성물들로 인해 H-USY의 선택도는 반응시작 초기에서부터 계속 감소한다. 전화율이 92.2%인 4h 이후에는 이러한 선택도의 지속적인 감소로 인해 24h에서의 전체 수율은 4h에서의 얻은 것 보다 오히려 낮아지게 된다.

잘 알려진 바와 같이 H-USY를 제조할 때 비록 산점의 갓수는 감소하지만 Y zeolite의 탈 알루미늄 공정에 의해서 산점의 세기는 강해지는 것으로 보고되고 있으며[21], 이때 생성된 강산점에서 1,5-DMT의 이성화 반응이 진행되고, 반면에 H-beta에는 이성화 반응이 일어날 만한 강산점이 존재하지 않음을 알 수 있다.

H-beta와 H-USY의 140 °C 실험결과를 보면 그 반응성이 H-beta가 훨씬 뛰어나 약 1h 이전에 모든 반응이 진행된다. 특히 반응이 진행됨에 따라 이성화 반응이 일어나 선택도가 감소하게 되는 H-USY와는 다르게, H-beta에서는 생성된 1,5-DMT의 이성화 반응이 진행되지 않아서 그 선택도를 그대로 유지하게 된다.

낮은 전화율에서의 촉매 반응 특성을 관찰하기 위해서 반응온도를 120 °C로 낮추고 반응시간을 줄여서 실험을 진행하였다. Table 2는 120 °C에서의 H-beta와 H-USY의 반응수행 결과를 나타내고 있다. H-beta의 경우 반응시작 약 30분에서 83.8%의 높은 전화율을 보이고 역시 이 온도에서도 1,5-DMT의 선택도는 100%이며 생성된 1,5-DMT의 이성화 반응은 진행되지 않는다. 반면 H-USY는 140 °C에 비해 그 반응성이 상당히 낮아서 반응시작 5h에서의 전화율이 32.3%, 17h에서의 전화율은 70.0%를 나타내고 있다. 또한 1,5-DMT의 선택도에 있어서는 반응초기

의 낮은 전화율에서는 1,5-DMT 만이 생성되지만 반응 전화율이 70%에 이르면 이성화 반응이 진행되어 1,5-DMT의 선택도가 낮아지고 있음을 볼 수 있다. 이 때 이성화 반응은 1,5-DMT에서 1,6-DMT로 우선적으로 일어나게 되며 이성화 반응이 더 진행됨에 따라 1,6-DMT 외에도 2,6-DMT가 생성되며, 이어서 DMTs, DMNs, others 등이 생성되는 경향을 보인다. 이와 같이 H-beta는 기존 특허상의 H-USY보다 훨씬 높은 활성을 가지며, 특히 1,5-DMT의 이성화 반응이 진행되지 않아 높은 수율을 얻을 수 있다.

Table 3은 H-beta의 온도 변화에 따른 cyclization 반응 결과를 나타내고 있다. H-beta의 경우에도 160 °C에서는 1,5-DMT의 이성화 반응이 진행되고 있음을 볼 수 있다. 180 °C의 고온에서 24h의 장시간 반응 후에는 상당한 1,5-DMT의 이성화 반응이 진행되어 1,5-DMT의 선택도가 많이 낮아짐을 볼 수 있다. 그러나 140 °C 이하의 온도에서는 시간에 따른 전화율의 차이는 있지만 장시간 반응 시에도 1,5-DMT의 선택도는 줄어들지 않음을 볼 수 있다. 즉, 100-140 °C 범위에서 H-beta는 높은

Table 3. Cyclization of OTP on the H-beta at various temperatures

Reaction temperature(°C)	Reaction time(h)	Conversion (%)	Selectivity (%)	Yield (%)
100	4	82.6	100	82.6
120	6	97.2	100	97.2
140	24	97.6	100	97.6
160	9	97.1	98.4	95.5
180	24	98.5	67.3	66.3

Table 4. Cyclization product distribution of H-beta & H-USY at high temperatures

Catalyst	H-beta		H-USY	
	Reaction temperature		180 °C	160 °C
Reaction time	1 h	24 h	1 h	6 h
	Product(wt%)	Product(wt%)	Product(wt%)	Product(wt%)
OTP	1.5	1.9	5.3	5.2
1,5-DMT	97.5	66.1	68.7	52.0
1,6-DMT	1.0	15.9	11.2	16.9
2,6-DMT	0	14.3	4.5	10.2
DMTs	0	1.9	6.2	10.6
DMNs	0	0	3.0	1.7
Others	0	0	1.0	3.2
o-xylene	0	0	0.1	0.2
Conversion(%)	98.5	98.5	94.2	94.3
Selectivity(%)	99.0	67.3	73.4	56.9
Yield(%)	97.5	66.3	69.1	53.7

Table 2. Cyclization product distribution of H-beta & H-USY at 120 °C

Catalyst	H-beta				H-USY				
	Reaction time	10 min	30 min	2 h	6 h	10 min	1 h	5 h	17 h
		Product(wt%)	Product(wt%)	Product(wt%)	Product(wt%)				
OTP	40.7	15.5	1.9	1.0	96.0	84.5	69.4	33.7	
1,5-DMT	59.3	83.9	96.8	99.1	4.0	15.5	30.6	64.5	
1,6-DMT	0	0	0	0	0	0	0	1.8	
2,6-DMT	0	0	0	0	0	0	0	0	
Other DMTs, DMNs	0	0	0	0	0	0	0	0	
Conversion(%)	58.8	83.8	97.3	98.2	4.2	16.4	32.3	70.0	
Selectivity(%)	100	100	100	100	100	100	100	97.3	
Yield(%)	58.8	83.8	97.3	98.2	4.2	16.4	32.3	68.1	

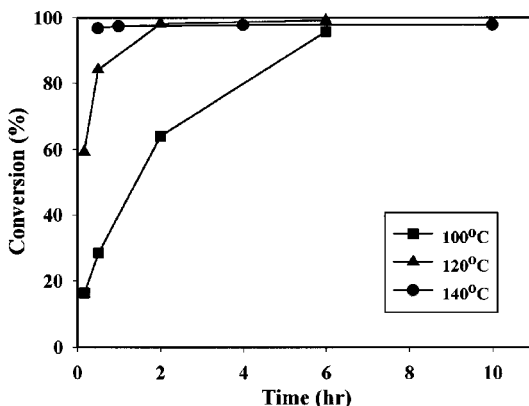


Fig. 6. Activity of zeolite H-beta at various temperatures as a function of reaction time.

전화율과 함께 1,5-DMT만의 선택도를 얻을 수가 있다.

Table 4에서는 고온에서 진행된 H-beta와 H-USY 촉매의 1,5-DMT로의 이성화 반응 결과를 비교하였다. H-beta의 경우 180°C의 고온에서도 1,5-DMT의 이성화 반응시에는 주로 1,6-DMT와 2,6-DMT로 반응이 진행된다. 1,5-DMT, 1,6-DMT, 2,6-DMT, 이 세 가지 물질은 같은 triad에 속하고 이후의 공정에서 모두 유용한 반응물로 사용될 수 있다. 즉, H-beta에서 고온 반응시에 이성화 반응이 진행될 때에는 그 생성물이 유용한 DMT 쪽으로 진행되며 이후 크래킹 공정이 필요하게 되는 고분자량의 물질 생성도 없다. 그러나 H-USY의 경우에는 H-beta보다 낮은 온도(160 °C)와 짧은 반응시간(6h)에도 불구하고 1,6-DMT와 2,6-DMT 외에도 여러 DMT 이성질체와 DMN 이성질체를 비롯한 여러 가지 고분자 물질의 생성이 관찰된다. 즉, H-USY는 H-beta에 비해 낮은 온도, 짧은 반응시간에서도 1,5-DMT의 선택도가 떨어져 수율이 낮아지게 된다.

기존 특허의 H-USY보다 높은 반응성과 선택도를 얻는데 성공한 H-beta의 온도에 따른 시간별 반응성을 Fig. 6에 나타내었다. 2 wt%의 촉매를 사용하여 100, 120, 140 °C에서 cyclization 반응을 수행한 결과이다. 앞에서 언급한 것처럼 140 °C에서는 초기 30분 이내에 이미 거의 모든 반응이 진행되어 96.7%의 전화율을 보이고 10h까지 반응이 계속되어도 선택도가 변하지 않기 때문에 높은 수율을 유지하게 된다. 120 °C의 결과를 보면 반응시간 30분에서는 84.1%, 2 h에서는 98.1%의 전화율을 나타내어 거의 동일한 반응성을 보인다고 할 수 있다. 100 °C에서는 반응속도가 상당히 떨어져서 약 6h 정도의 반응시간이 지나서야 95.7%의 전화율을 보였다. 그러나 세 온도 모두 6h 이내에서 95% 이상의 높은 1,5-DMT의 수율을 얻을 수 있다.

Fig. 7은 cyclization 반응에서 좋은 반응성을 보이는 H-beta와 H-USY의 1만배 FE-SEM 사진이다. 이들의 사전을 비교해보면 H-beta의 입자크기가 H-USY에 비해 작고 불규칙적임을 알 수 있다. H-USY는 비교적 일정한 크기의 입자들이 규칙적으로 배열되어 있는데 반해, H-beta는 그 크기가 여러 형태인 수많은 입자들이 펴져 있는 형태임을 알 수 있다. 또한 입자들의 형태도 H-beta가 H-USY에 비해 매우 거칠고 불규칙적임을 관찰할 수 있다. H-beta의 독특한 특징으로서 구조적인 불규칙성은 결정의 morphology에 영향을 주어 아주 거친 표면 구조를 갖게 한다. 즉, H-beta는 불규칙한 외부 형상, 매우 작은 결정들(microcrystallites), 그리고 매우 많은 mesopore들의 분포로 인해 넓은 외부 표면적(external surface area)을 가지게 되고 이 외부 표면적은 전체 표면적의 약 35% 까지 차지하게 된다고 알려져 있으며[22] 실제로 본 연구에서 사용된 beta zeolite의 BET 표면적과 외부 표면적은 각각 630 m<sup>2</sup>/g과 280 m<sup>2</sup>/g으로 측정되었다. 특히 beta zeolite 세공크기(5.7-7.5 Å)[23]와 반응물 및 생성물 크기(6-10 Å)를 고려해 보면 cyclization 반응의 주된 활성점은 내

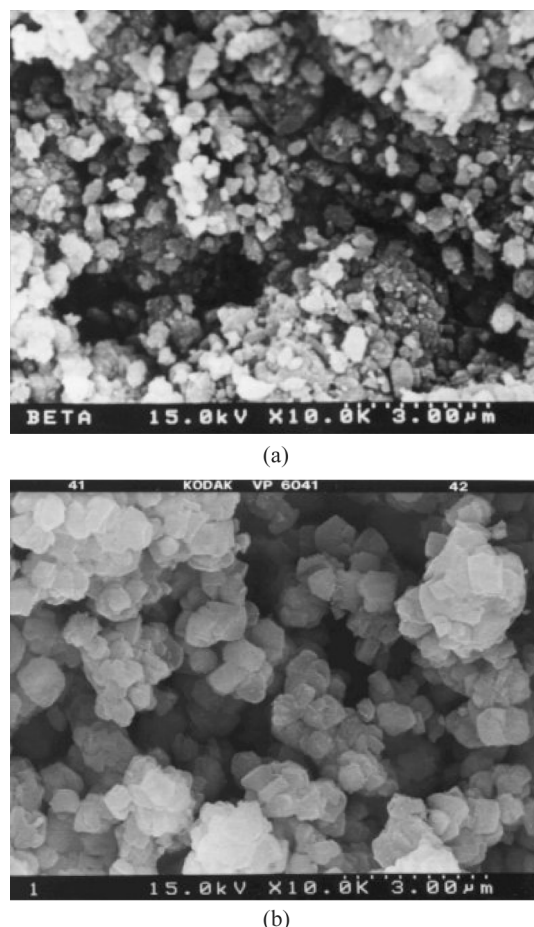


Fig. 7. FE-SEM micrographs of (a) H-beta and (b) H-USY.

부 세공 보다는 확산 저항을 받지 않는 외부 표면에 노출된 산점이라고 판단될 수 있다. 결론적으로 beta zeolite의 우수한 반응성은 넓은 외부 표면적에 의해서 또한 우수한 1,5-DMT로의 선택성은 앞에서 언급한 바와 같이 적정한 세기의 산점에 기인한다고 할 수 있다.

#### 4. 결 론

H-beta를 사용하여 OTP의 cyclization 반응을 수행하여 기존 특허상의 H-USY보다 높은 전화율과 1,5-DMT로의 선택도를 얻을 수 있었다. 특히 기존의 공정에서 문제시 되던 기타 DMT 이성체, DMN 이성체 및 여러 고분자 물질들의 불순물 생성 없이 140 °C 이하의 온도에서 100%의 1,5-DMT 선택도를 얻었다. 140 °C보다 높은 고온에서의 장시간 반응시에는 1,5-DMT의 이성화 반응이 진행되었으나, 이때의 이성화 반응의 경향은 1,5-DMT와 동일한 triad에 속하는 1,6-DMT와 2,6-DMT와 같은 유용한 물질 쪽으로 이루어졌다. 반응의 최적 조건은 상압에서 140 °C의 온도가 최적 조건으로 생각된다. 이러한 높은 촉매활성과 H-beta가 가지는 OTP의 선택적인 1,5-DMT의 수율은 beta zeolite의 넓은 외부 표면적(external surface area)과 H-USY보다 약한 beta의 적정한 산점 세기에 기인한다고 판단된다.

#### 감 사

본 연구는 S-Oil(주)의 연구지원으로 수행된 것으로 이에 감사드립니다.

### 참고문헌

1. Harper, J. J., Kulmann, G. E., Lamb, K. D., McMahon, R. F. and Sanchez, P. A.: U.S. Patent 5,183,933(1993).
2. Iwane, H., Sugawara, T., Kujira, K., Suzuki, N. and Sakata, T.: U.S. Patent 5,442,103(1995).
3. Lillwitz, L. D. and Karachewski, A. M.: U.S. Patent 5,198,594(1993).
4. Sikkenga, D. L., Zaenger, I. C. and Williams, G. S.: U.S. Patent 5,030,781 (1991).
5. Sikkenga, D. L., Zaenger, I. C. and Williams, G. S.: U.S. Patent 5,118,892 (1992).
6. Chu, S. J. and Chen, Y. W.: *Applied catalysis A, General*, **123**, 51(1995).
7. Haggin, J.: "Structure of Zeolite Beta Determined," *Chemical & Engineering News*, **June** 20, 23(1988).
8. Bellusi, G., Pazzuconi, G., Perego, C., Girotti, G. and Terzoni, G.: *J. Catal.*, **157**, 227(1995).
9. Hoefnagel, A. J. and van Bekkum, H.: *Appl. Catal. A*, **97**, 87(1993).
10. Rikutto, M. S., de Vries, H. J. A., Magill, S. R., Hoefnagel, A. J. and van Bekkum, H.: *Stud. Surf. Sci. Catal.*, **78**, 661(1993).
11. Dagade, S. P., Waghmode, S. B., Kadam, V. S. and Dongare, M. K.: *Appl. Catal A, General*, **5843**, 1(2001).
12. de Jong, K. P., Mesters, D. M. A. M., Peferoen, D. G. R., van Brugge, P. T. M. and de Groot, D.: *Chem. Eng. Sci.*, **51**, 2053(1996).
13. Camblor, M. A. and Perez-Pariente, J.: *Zeolites*, **11**, 202(1991).
14. Higgins, J. B., Lapierre, R. B., Schlenker, J. L., Rohrman, A. C., Wood, J. D., Kerr, G. T. and Rohrbaugh, W. J.: *Zeolites*, **8**, 446(1988).
15. Kokotalio, G. T. and Ceric, J.: *Adv. Chem. Ser.*, **101**, 109(1971).
16. Kil, M. H.: MS Dissertation, Kyungpook National Univ., Daegu, Korea (1998).
17. Sikkenga, D. L., Zaenger, I. C. and Williams, G. S.: U.S. Patent 4,962,260 (1990).
18. Sikkenga, D. L., Lamb, J. D., Zaenger, I. C. and Williams, G. S.: U.S. Patent 5,073,670(1991).
19. Ozawa, S., Takagawa, M. and Dnamasa, K.: U.S. Patent 5,396,008(1995).
20. Sikkenga, D. L., Zaenger, I. C., Lamb, J. D. and Williams, G. S.: U.S. Patent 5,401,892(1995).
21. Imelik, B., Naccache, C., Coudurier, G., Ben Taarit, Y. and Vedrine, J. C.: "Catalysis by Acids and Bases," Elsevier, New York(1985).
22. Harvey, G., Binder, G. and Prins, R.: *Stud. Surf. Sci. Catal.*, **94**, 397(1995).
23. Jansen, J. C., Creyghton, E. J., Njo, S. L., Van Koningsveld, H. and van Bekkum, H.: *Catalysis Today*, **38**, 205(1997).